

Görme Keskinliginin Sweep VEP Yöntemi ile Degerlendirilmesi

Zafer Cebeci (*), Barış Yeniad (**), Acun Gezer (**)

ÖZET

Amaç: Görme keskinliginin sweep VEP (görsel uyarılmış potansiyel) yöntemi ile degerlendirilmesi.

Materyal, Metod: Refraksiyon ve oküler motilite muayenesi, en iyi düzeltilmis görme keskinligi ölçümleri (Snellen efleli ile) yapılan ve yaflar 6 ile 38 arasında degiflen 27'si erkek 17'si kadın 44 olgu çalışmaya alındı ve sweep VEP testi uygulandı. Sweep VEP; kooperasyonu yetersiz olan kifilerde görme keskinliğini tespit etmek amacıyla tasarlanılmış bir programdır. Olgular optoelektronik stimülatörün 200 cm uzaklığa oturtulup 5 ile 15 Hz arasında degiflen frekanslarda, alterne eden ve 10 saniye içinde patern boyutları küçülen dama tahtası paternli stimulus ile VEP kayıtları alınmaktadır. Olgulara sweep VEP programında görme keskinliği 0,03 ile $>1,1$ aralığındaki test uygulandı. Normal bireyde patern boyutu küçüldükçe kaydedilen amplitüd cevabı artmaktadır, maksimuma ulaşmaktadır ve sonrasında hızla olarak azalmaktadır. Görme keskinliği en küçük paternde ortaya çıkan cevaba göre hesaplanmaktadır. Her olgunun sweep VEP ile sağ ve sol göz için ortalama ve maksimum görme keskinlikleri kayıt edildi.

Bulgular: Sweep VEP kayıtları ile elde edilen görme keskinliği tahmini değerleri Snellen efleli ile saptanan subjektif görme keskinliği sonuçları ile korelasyon göstermiştir. Sağ gözde korelasyon katsayı $s = 0,324$, $p < 0,05$; Sol gözde korelasyon katsayı $s = 0,335$, $p < 0,05$ bulunmaktadır.

Sonuç: Sweep VEP yöntemi, koopere olamayan hastalar ve preverbal çağdaşı çocuklarda görme keskinliğinin degerlendirilmesinde güvenilir bir alternatif yöntem olma potansiyeli taflamaktadır.

Anahtar Kelimeler: Sweep VEP, görme keskinliği

SUMMARY

Evaluation of Visual Acuity with Sweep VEP Method

Purpose: To evaluate the visual acuity with sweep visual evoked potential (VEP) method.

Material, Method: We enrolled 44 subjects (27 men, 17 women) aged between 6 and 38 in our study group. Their best corrected visual acuities assessed with Snellen chart, also they had ocular motility tests. All subjects had Sweep VEP test. Sweep VEP is performed with the help of a computer program which was designed for estimation of visual acuity in noncooperating subjects. Tests were assessed from a 200 cm distance from the optoelectronic stimulator and VEP

(*) Başarılar Eğitim ve Araştırma Hastanesi Göz Hastalıkları Kliniği

(**) İstanbul Üniversitesi İstanbul Tıp Fakültesi Göz Hastalıkları Anabilim Dalı

Yazma adresi: Uzm. Dr. Zafer Cebeci, Başarılar Eğitim ve Araştırma Hastanesi Göz Kliniği,
Başarılar - İstanbul E-posta: zapherman@yahoo.com

Mecmuaya Gelidi Tarihi: 23.10.2007

Kabul Tarihi: 30.05.2008

responses recorded with the reversal from 5 to 15 Hz alternating decreasing pattern in 10 seconds stimulation duration. Subjects have a test range of 0,03 - 1,1 in Sweep VEP program. In a normal subject; as the pattern gets smaller the recorded amplitude response increases steadily and after reaching maximum visual acuity the amplitude decreases rapidly. Visual acuity is estimated from the response of the smallest pattern. Maximum and mean visual acuities are recorded with Sweep VEP for each eye for every case.

Results: Estimated visual acuity values recorded with sweep VEP shows statistically significant association with subjective Snellen visual acuity values. ($r = 0,324$, $p < 0,05$ for the right eye and $r = 0,335$ $p < 0,05$ for the left eye with correlation analysis).

Conclusion: Sweep VEP has the potential of an effective and objective alternative method for evaluation of visual acuity in noncooperative patients and preverbal children.

Key Words: Sweep VEP, visual acuity

Görme keskinliğinin Sweep VEP yöntemi ile değerlendirilmesi

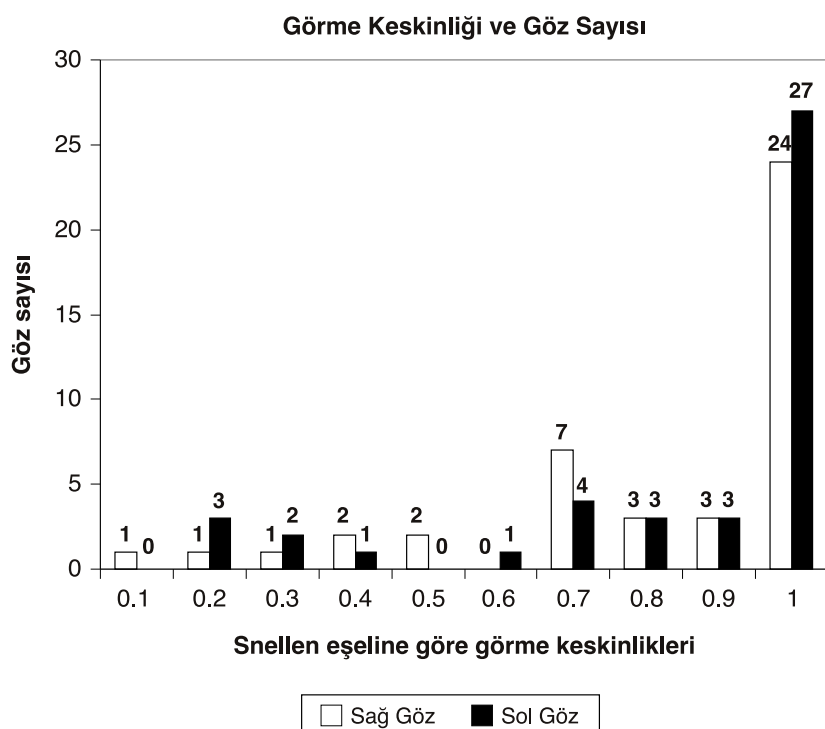
Günümüzde görme keskinliğini değerlendirmek için çeşitli yöntemler kullanılmaktadır. Görsel fonksiyonun değerlendirilmesindeki yöntemlerin çoğu subjektiftir. Klinikte kullanılan en önemli subjektif metodlardan biri Snellen efteliğidir. Görme fonksiyonunun objektif değerlendirilmesini sağlayan yöntemlerden biri de görsel uyarılmış potansiyellerdir (VEP) (1). Bir görsel uyarılmış potansiyel test çeffidi olan sweep VEP görsel fonksiyonun hızla değerlendirilmesi amacıyla kullanılmaktadır (2). Sweep VEP; kooperasyonu yetersiz olan kifflerde ve çocukların görme keskinliğini tahmini tespit edilmesi amacıyla kullanılmaktadır (3-9). Tyler ve ark. yaptığı çalışmada durgun durum cevabı olıfturan alterne eden yüksek, geçici frekans oranlarındaki patern stimulusları kullanılmışlardır. Bu stimuluslar çeşitli uzaysal frekanslarda degıftirilerek kullanılmıştır. Sweep VEP çeşitli oküler ve sistemik hastalıklar olan çocukların değerlendirilmesinde kullanılabilmektedir (5,7-9,11). Normal, yetişkin bireylerde Snellen keskinliği ile sweep VEP keskinliği tek gözün görmesi bulanıklıklararak karşlaştırılmıştır (12-14). Ridder ve ark. görme keskinlikleri iyi olan normal bireylerde sweep VEP ile yapılan ölçümelerin LogMAR keskinliği ile eşit veya daha düftük olduğunu saptamıştır (15-16). Bu çalışmamızın amacı, görme keskinliğini günümüzde rutin olarak kullanılan ondalık sisteme veren bir VEP çeffidi olan sweep VEP ve Snellen efteliyle saptanan görme keskinlikleri arasındaki ilıflığı değerlendirmektir.

MATERIAL METOD

İstanbul Tıp Fakültesi Ortoptik Birimi Elektrofizyoloji laboratuvarında Ocak ile Mayıs 2006 tarihleri arasında başvurulan yaflar 6 ila 38 arasında degißen 44 olgunun 88 gözü çalışmaya alındı. Olgular çalışma konusunda bilgilendirilerek onaylar alındı. Olguların refraksi-

yon ve oküler motilité muayenesi, binoküler görme değerlendirme yapıldı. En iyi düzeltilemeli görme keskinlikleri Topcon ACP-7 Auto Chart Projector kullanılarak dört metre uzaklıktan Snellen efteli ile değerlendirilerek kaydedildi. Olguların rutin ön ve arka segment muayeneleri yapıldı.

Sweep VEP kayıtları Metrovision-Vison Monitor™ sistemi kullanılarak alındı. Optoelektronik stimülatörün çözünürlüğü 1024x768, ortalama aydınlatma 50 cd/m^2 'ydi. Olgular optoelektronik stimülatörün 200 cm uzaklığından oturtulup 5 ile 15 Hz arasında degißen frekanslarda, alterne eden ve 10 saniye içinde patern boyutları küçülen dama tahtası paternli stimulus ile VEP kayıtları alındı. Kayıtlar alınırken olguların ekranın ortasındaki kırmızı renkli kare fleklindeki fiksasyon noktasına bakmaları istendi. Kayıtlar optoelektrik stimülatöre bağlı bulunan Metrovision-Vision Monitor Bioelectric Recording Unit TM amplifikatörü aracılığıyla standart gümüdü klorür (AgCl) kupula elektrodlar ile 2 kanaldan alındı. Metal kupula elektrodlarından aktif elektrodlar oksipital kemikte protuberentia oksipitalis eksternalın 2 cm üzeri ve yaklaşıklık 2 cm sağ ve solda oksipital kortekse denk gelecek flekilde yerleştirildi. Referans elektrod vertekse, toprak elektrodu ise kulak memesine konuldu. Olguların sweep VEP programındaki görme keskinliğini 0,03 ile $> 1,1$ aralığında test eden program uygulandı. Olguların her birinden onar saniye süren on sweep VEP kayıtları alındı. Stimulus ilk olarak düftük uzaysal frekansta gösterildikten sonra durgun durum cevabı elde edilince; uzaysal frekans adım adım üst seviye doğru arttırmaktadır. Görme keskinliği, en küçük paternde ortaya çıkan cevaba göre tahmin edilmektedir. Snellen eftelindeki 1.0 görme keskinliği 1 ark dakikalık açıya, bu da 30 devir/dereceye eşittir. Her olgunun Sweep VEP ile sağ ve sol göz için ortalama ve maksimum görme keskinlikleri kayıt edildi. *statistiksel analiz SPSS 11.0 istatistiksel analiz bilgisayar programı* (SPSS Inc., Chicago, Illinois, USA) ile yapıldı.

Flebil 1. Snellen eşeline göre görme keskinlikleri ve göz sayıları

SONUÇLAR

Olguların 27'si erkek (%61.3), 17'si kadın (%38.6). Olguların yaşılarında 6 ile 38 arasında değişmemektedir (ortalama 13.2). Snellen efteli ile değerlendirilen en iyi düzeltilmeli görme keskinlikleri sağ gözde ortalama 0.82 ± 0.2 (0.2-1.0), sol gözde ortalama 0.83 ± 0.2 idi (0.2-1.0). Hastaların sağ ve sol göz görme keskinlikleri ile göz sayıları flebil 1'de gösterilmiştir.

Kaydedilen sweep VEP değerleri sağ gözde sweep maksimumu ortalama 0.89 ± 0.33 , sweep ortalaması ort. 0.39 ± 0.12 ; sol gözde sweep maksimumu ortalama 0.93 ± 0.32 , sweep ortalaması ort. 0.41 ± 0.11 idi. Sweep VEP kayıtları ile elde edilen görme keskinliği tahmini değerleri, Snellen efteli ile saptanan subjektif görme keskinliği sonuçları arasında her iki göz için de istatistiksel olarak anlamlı düzeyde korelasyon göstermiştir. (Sağ gözde korelasyon katsayı = $0,324$, $p < 0,05$, sol gözde korelasyon katsayı = $0,335$, $p < 0,05$)

TARTIŞMA

Yapılan sweep VEP kayıtlarında görme keskinliğinin ondalık hanesi ark dakika ile ters orantılıdır (1,0 görme keskinliği 0,1 ark dakikaya uymaktadır). Normal bireyde patern boyutu küçüldükçe kaydedilen amplitüd

cevabı artmaktadır, maksimuma ulaşmakta ve sonrasında hızla olarak azalmaktadır. Görme keskinliği en küçük paternde ortaya çıkan cevaba göre tahmin edilmektedir.

Arai ve ark. yaptığı çalışmada çeffitli oküler patolojileri olan 100 hastaya Snellen görme keskinliği ve sweep patern reversal VEP ile değerlendirilmiş ve iki yöntem birbiri ile korelasyon gösterdigini belirtmifllerdir (17).

Diger bir çalışmada ise; Ridder ve ark. ambliyopi tedavisi öncesi horizontal gratingli stimulusun kullanıldığı sweep VEP ile tahmini görme keskinliği tayin yönteminin tedavi sonrası görme keskinliği sonuçları için iyi bir prediktör faktör olarak gösterdigini belirtmifllerdir (18).

Köse ve arkadaşları, özellikle 6 aylıktan büyük çocukların görme keskinliğinin objektif olarak saptanmasında sweep VEP yöntemini kullanmışlardır (19).

Bir başka çalışmada ise kullanılm kolaylığı ve kısa sürede cevap alınabilmesinden dolayı klinikte kullanımın yararlı olabileceği söylelmiftir (20).

Bunların yanında Da Costa ve ark. kooperasyon güclüğü olan 37 spastik serebral palsili hastanın görme keskinliğini sweep VEP ve davranışsal metodlarla de-

gerlendirmifller ve sonuçta bu kifilerde motor bozuklukları davranışsal ölçüm yöntemlerine etkisi olabileceğinden elektrofizyolojik ölçümlerin (sweep VEP) görme keskinliği tahmininde daha etkin ve güvenilir olduğunu saptamışlardır (21).

Bizim çalışmamızda da dama tahtası paternli sweep VEP ölçümleri hem sağ göz hem de sol gözde Snellen efteli ile uyumlu sonuçlar göstermektedir.

Sonuç olarak; sweep VEP yöntemi koopere bireylerde geleneksel subjektif yöntemlerle korelasyon gösteren sonuçlar vermekte ve koopere olamayan hastalar ve preverbal çağdaşı çocuklardaki alternatif yöntemlere karşıyla tafşır uygulama kolaylığı ve objektif ölçüm avantajları nedeniyle de bu yaş grubunda görme keskinliğinin değerlendirilmesinde güvenilir bir alternatif yöntem olma potansiyeli tafşımaktadır.

KAYNAKLAR

1. Sokol S. Visually evoked potentials: theory, techniques and clinical applications. *Surv Ophthalmol* 1976;21(1):18-44.
2. Tyler CW, Apkarian P, Levi DM, Nakayama K. Rapid assessment of visual function: an electronic sweep technique for the pattern visual evoked potential. *Invest Ophthalmol Vis Sci*. 1979 Jul;18(7):703-13.
3. Norcia AM, Tyler CW. Infant VEP acuity measurements: analysis of individual differences and measurement error. *Electroencephalogr Clin Neurophysiol* 1985;61(5):359-69.
4. Norcia AM, Tyler CW. Spatial frequency sweep VEP: visual acuity during the first year of life. *Vision Res* 1985; 25(10): 1399-408.
5. Norcia AM, Tyler CW, Piecuch R, Clyman R, Grobstein J. Visual acuity development in normal and abnormal preterm human infants. *J Pediatr Ophthalmol Strabismus* 1987; 24(2): 70-4.
6. Hamer RD, Norcia AM, Tyler CW, Hsu-Winges C. The development of monocular and binocular VEP acuity. *Vision Res* 1989; 29(4): 397-408.
7. Gottlob I, Fendick MG, Guo S, Zubcov AA, Odom JV, Reinecke RD. Visual acuity measurements by swept spatial frequency visual-evoked-cortical potentials (VECPs): clinical application in children with various visual disorders. *J Pediatr Ophthalmol Strabismus* 1990; 27(1): 40-7.
8. Gottlob I, Wizov SS, Odom JV, Reinecke RD. Predicting optotype visual acuity by swept spatial visual-evoked potentials. *Clin Vision Sci* 1993; 8: 417-423.
9. Katsumi O, Denno S, Arai M, De Lopes Faria J, Hirose T. Comparison of preferential looking acuity and pattern reversal visual evoked response acuity in pediatric patients. *Graefes Arch Clin Exp Ophthalmol* 1997;235(11): 684-90.
10. Birch EE, Hoffman DR, Uauy R, Birch DG, Prestidge C. Visual acuity and the essentiality of docosahexaenoic acid and arachidonic acid in the diet of term infants. *Pediatr Res* 1998; 44(2): 201-9.
11. Thompson DA, Moller H, Russell-Eggett I, Kriss A. Visual acuity in unilateral cataract. *Br J Ophthalmol* 1996; 80: 794-98.
12. Thompson DA, Moller H, Russell-Eggett I et al (1996) Visual acuity in unilateral cataract. *Br J Ophthalmol* 80:794-798 51.
13. Katsumi O, Arai M, Wajima R et al (1996) Spatial frequency sweep pattern reversal VER acuity vs snellen visual acuity: effect of optical defocus. *VisionRes* 36:903-9052.
14. Strasburger H, Remky A, Murray II et al (1996) Objective measurement of contrast sensitivity and visual acuity with the steady-state visual evoked potential. *Ger J Ophthalmol* 5:42-52.
15. Ridder WH 3rd, McCulloch D, Herbert AM (1998) Stimulus duration, neural adaptation, and sweep visual evoked potential acuity estimates. *Invest Ophthalmol Vis Sci* 39(13):2759-2768.
16. Ridder WH 3rd (2004) Methods of visual acuity determination with the spatial frequency sweep visual evoked potential. *Doc Ophthalmol* 109(3):239-247.
17. Arai M, Katsumi O, Paranhos F.R.L., Lopes De Faria J M, Hirose T. Comparison of Snellen acuity and objective assessment using the spatial frequency sweep PVER. *Graefes Arch Clin Exp Ophthalmol* (1997) 235:442-447.
18. Ridder WH, Rouse MW. Predicting potential acuities in amblyopes: Predicting post-therapy acuity in amblyopes. *Doc Ophthalmol*. 2007 May;114(3):135-45. Epub 2007 Feb 20.
19. Kose S, Egrilmez S, Pehlivan M, Çebi Y. Çocuklarda görme keskinliğinin hızlı görsel uyarı potansiyelleri (Sweep VEP) ile değerlendirilmesi. *Türk Oftalmoloji Gazetesi* 2002;32(1/1):137-141.
20. Vedenthal V, Ratnagiri PK. The Sweep-VEP: A faster estimation of visual acuity in preverbal children. *Indian J Ophthalmol* 2004; 52:175-175
21. Da costa MF, Salomao SR, Brezovsky A, De Haro FM, Ventura DF. Relationship between vision and motor impairment in children with spastic cerebral palsy: new evidence from electrophysiology. *Behav Brain Res*. 2004 Mar 2;149(2):145-50v.